

A measurement of high  $p_{\perp}$  neutral  
pion in  $\sqrt{s_{NN}}=200\text{GeV}$  Au+Au  
collisions

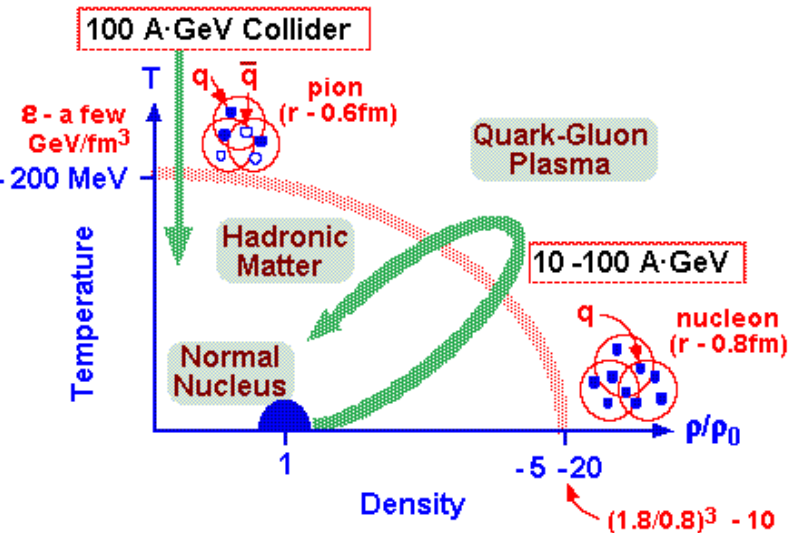
鳥井 久行 for the PHENIX Collaboration

京大理 原子核ハドロン研究室

2001年2月8日、D3発表会

# Physics Motivation

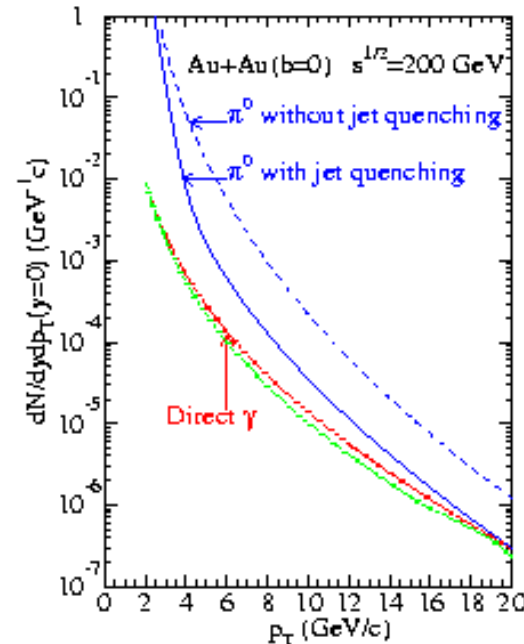
- QCD theory
  - successively describe perturbative phenomena
  - Quarks confinement in hadron
- when are the quarks free?
  - high energy: asymptotic freedom
  - high temperature
  - high density
- Why is QGP so interesting?
  - state of early universe
  - To understand non-perturbative phenomena



Quark Gluon Plasmaへの相転移

# QGP search

- One of the hard probe for QGP is “Jet Quenching”
- Jet Quenching.
  - Hard scattered quark energy loss in the QGP matter by gluon bremsstrahlung.
  - Energy loss is measured by fragmented  $\pi^0$ .
- RHIC-PHENIX 実験で行われる  $\sqrt{s_{NN}}=200\text{GeV}$  Au+Au collision によって  $\pi^0$  の Inclusive spectrum を測定し、Jet quenching の効果について議論したい。



Xin-Nian Wang  
Phys.Rev.C58 2321(1998)  
Au+Au  $\sqrt{s}=200\text{GeV}$   
( $dE/dx=1\text{GeV}/c$ )

# RHIC

RHIC = Relativistic Heavy Ion Collider

Located at Brookhaven National Laboratory



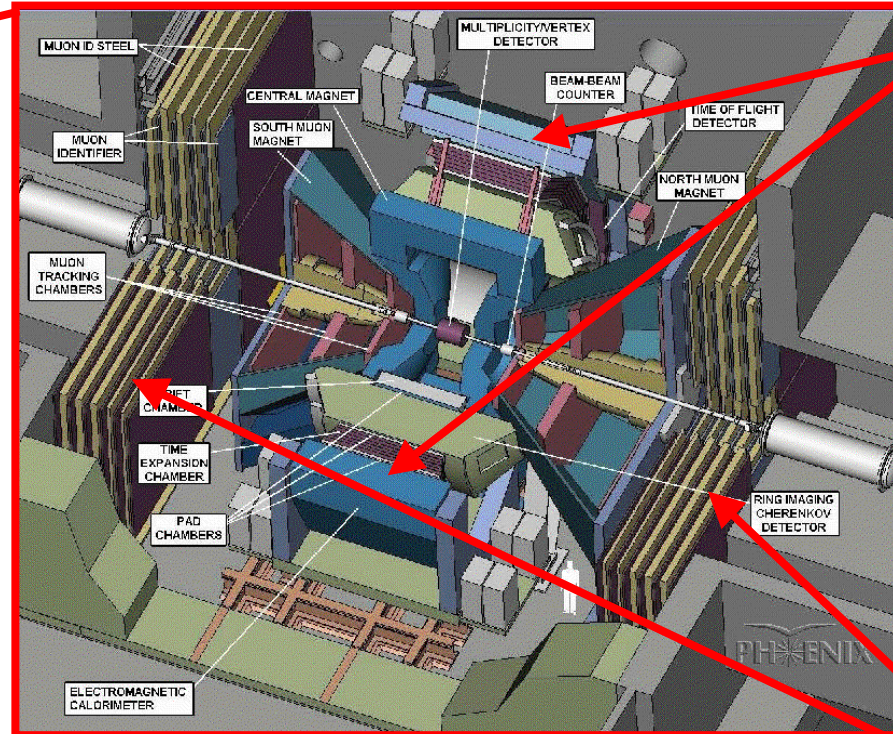
# PHENIX実験



*Pioneering High Energy Nuclear Interaction eXperiment*



- 全周3.8km 2リング
  - 120bunch/ring
  - 106ns crossing time
- 最大エネルギー
  - 250GeV for p(polarized)
  - 100GeV/nucleon for Au
- Luminosity
  - Au-Au :  $2 \times 10^{26} \text{cm}^{-2}\text{s}^{-2}$
  - p-p :  $2 \times 10^{32} \text{cm}^{-2}\text{s}^{-2}$
- 6 のCrossing point



2 central Spectrometers

2 forward Spectrometers

- Luminosity、Vertex、Centralityを決めるための3つの detector がインストールされている。
  - Beam Beam Counter(BBC)
  - Zero Degree Calorimeter(ZDC)
  - Multiplicity and Vertex Detector(MVD)

# PHENIX



Map No. 3055 Nov. 2 UNITED NATIONS  
August 1989

Department of Public Information  
Cartographic Section

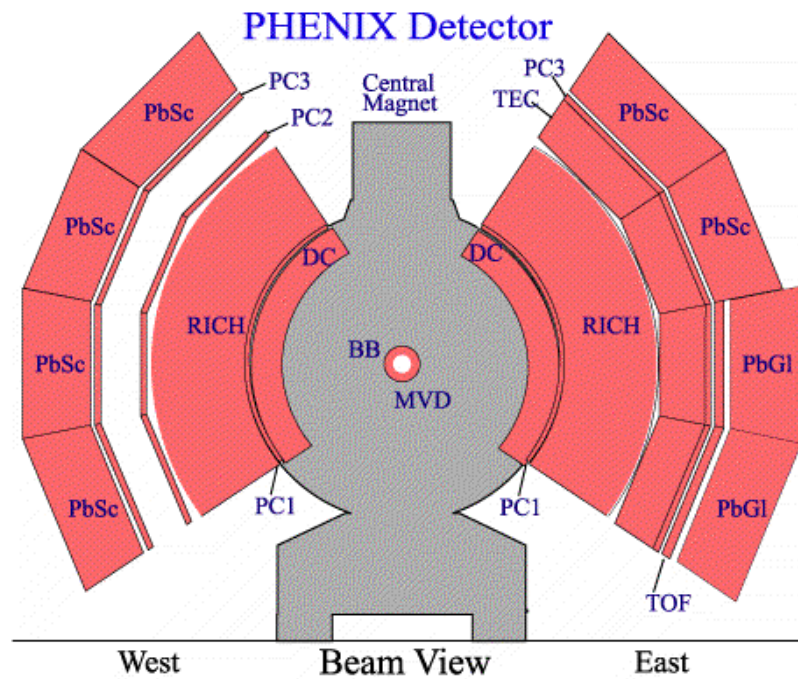
**University of São Paulo, São Paulo, Brazil**  
**Academia Sinica, Taipei 11529, China**  
**China Institute of Atomic Energy (CIAE), Beijing, P. R. China**  
**Laboratoire de Physique Corpusculaire (LPC), Université de Clermont-Ferrand, 63170**  
**Aubiere, Clermont-Ferrand, France**  
**Dapnia, CEA Saclay, Bat. 703, F-91191, Gif-sur-Yvette, France**  
**IPN-Orsay, Université Paris Sud, CNRS-IN2P3, BP1, F-91406, Orsay, France**  
**LPNHE-Palaiseau, Ecole Polytechnique, CNRS-IN2P3, Route de Saclay, F-91128,**  
**Palaiseau, France**  
**SUBATECH, Ecole des Mines at Nantes, F-44307 Nantes, France**  
**University of Muenster, Muenster, Germany**  
**Banaras Hindu University, Banaras, India**  
**Bhabha Atomic Research Centre (BARC), Bombay, India**  
**Weizmann Institute, Rehovot, Israel**  
**Center for Nuclear Study (CNS-Tokyo), University of Tokyo, Tanashi, Tokyo 188, Japan**  
**Hiroshima University, Higashi-Hiroshima 739, Japan**  
**KEK, Institute for High Energy Physics, Tsukuba, Japan**  
**Kyoto University, Kyoto, Japan**  
**Nagasaki Institute of Applied Science, Nagasaki-shi, Nagasaki, Japan**  
**RIKEN, Institute for Physical and Chemical Research, Hirosawa, Wako, Japan**  
**University of Tokyo, Bunkyo-ku, Tokyo 113, Japan**  
**Tokyo Institute of Technology, Ohokayama, Meguro, Tokyo, Japan**  
**University of Tsukuba, Tsukuba, Japan**  
**Waseda University, Tokyo, Japan**

**Cyclotron Application Laboratory, KAERI, Seoul, South Korea**  
**Kangnung National University, Kangnung 210-702, South Korea**  
**Korea University, Seoul, 136-701, Korea**  
**Myong Ji University, Yongin City 449-728, Korea**  
**System Electronics Laboratory, Seoul National University, Seoul, South Korea**  
**Yonsei University, Seoul 120-749, KOREA**  
**Institute of High Energy Physics (IHEP-Protvino or Serpukhov), Protovino, Russia**  
**Joint Institute for Nuclear Research (JINR-Dubna), Dubna, Russia**  
**Kurchatov Institute, Moscow, Russia**  
**PNPI: St. Petersburg Nuclear Physics Institute, Gatchina, Leningrad, Russia**  
**Lund University, Lund, Sweden**  
**Ablene Christian University, Abilene, Texas, USA**  
**Brookhaven National Laboratory (BNL), Upton, NY 11973**  
**University of California - Riverside (UCR), Riverside, CA 92521, USA**  
**Columbia University, Nevis Laboratories, Irvington, NY 10533, USA**  
**Florida State University (FSU), Tallahassee, FL 32306, USA**  
**Georgia State University (GSU), Atlanta, GA, 30303, USA**  
**Iowa State University (ISU) and Ames Laboratory, Ames, IA 50011, USA**  
**LANL: Los Alamos National Laboratory, Los Alamos, NM 87545, USA**  
**LLNL: Lawrence Livermore National Laboratory, Livermore, CA 94550, USA**  
**University of New Mexico, Albuquerque, New Mexico, USA**  
**New Mexico State University, Las Cruces, New Mexico, USA**  
**Department of Chemistry, State University of New York at Stony Brook (USB),**  
**Stony Brook, NY 11794, USA**

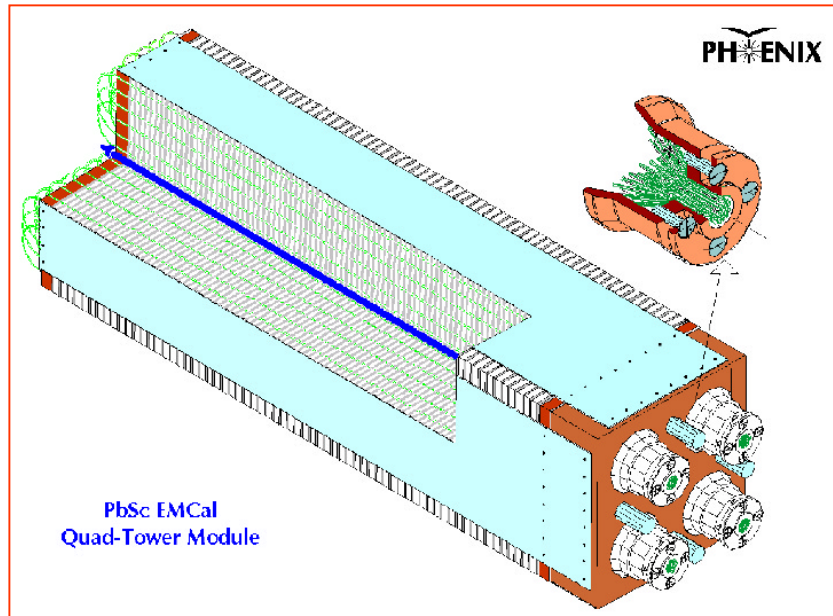
11 51 Institutes

# PHENIX EMCalorimeter

- 2 types
  - Lead Scintillator (PbSc)
    - 6 sectors(15552 channels)
  - Lead Glass (PbGl)
    - 2sectors (9216 channels)
- 衝突点からの直線距離
  - 507cm for PbSc
  - 540cm for PbGl
- Coverage
  - $|\eta| < 0.38$
  - $\phi = 180^\circ$



# PbSc Calorimeter



	PbSc
Size(cm x cm)	5.52 x 5.52
Depth(cm)	37.5
Number of towers	15552
Sampling fraction	~ 20%
$\eta$ cov.	0.7
$\phi$ cov.	90+45deg
$\eta$ /mod	0.011
$\phi$ /mod	0.011
$X_0$	18
Molière Radius	~ 3cm

## Sandwich type calorimeter

Lead plates 55.2x55.2x1.5mm

Scintillator plates 110.4x110.4x4mm

Shish-kebab geometry wave shifter fiber readout

6x6 fibers  $\rightarrow$  1 PMT = 1 tower

2 x 2 towers = 1 module

6 x 6 module = 1 super module

6 x 3 super module = 1 sector



PbSc sector 2.0m x 4.0m

# PHENIX EMCal の性能評価

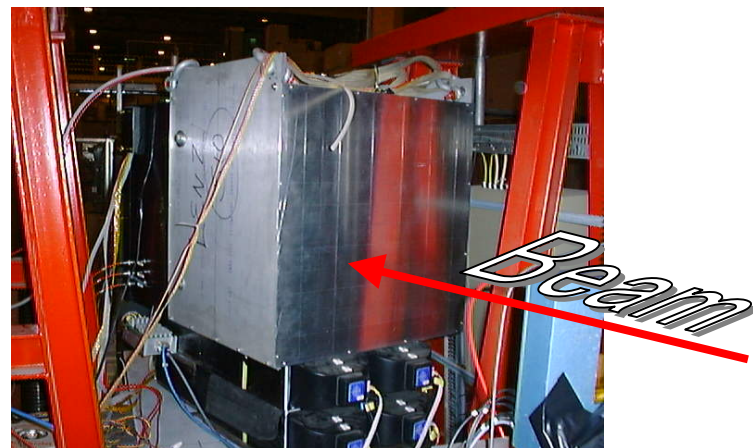
以前にBNL-AGSを用いたテストビームで6GeV/cまでの性能評価が行われおり、これを補う形でこの98年のテストビームでは10-80GeV/c領域での性能評価をおこなった。

At the CERN SPS H6 beam line. 8/29-9/5, 1998年

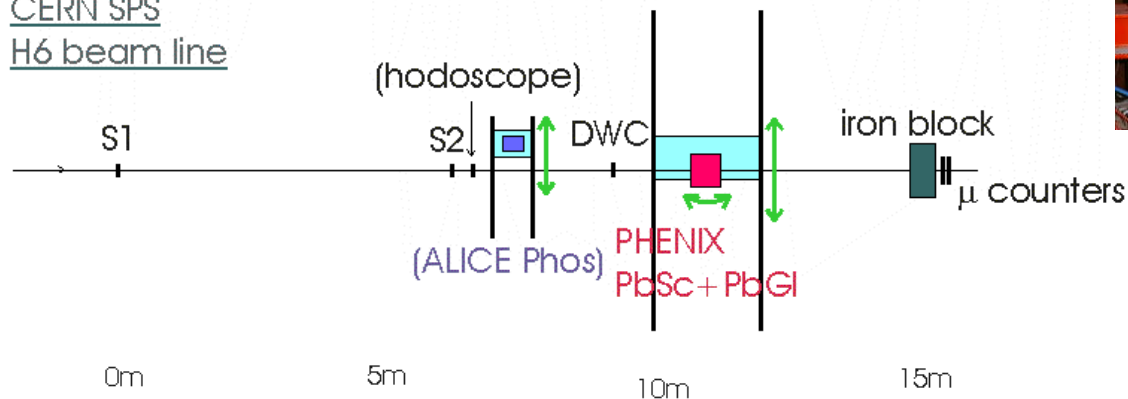
(by sharing beam with ALICE/Phos group)

## 目的

- エレクトロンのエネルギー測定 of 分解能、線形性
- エレクトロンのシャワープロファイルの測定
- ハドロンに対するrejection powerの測定

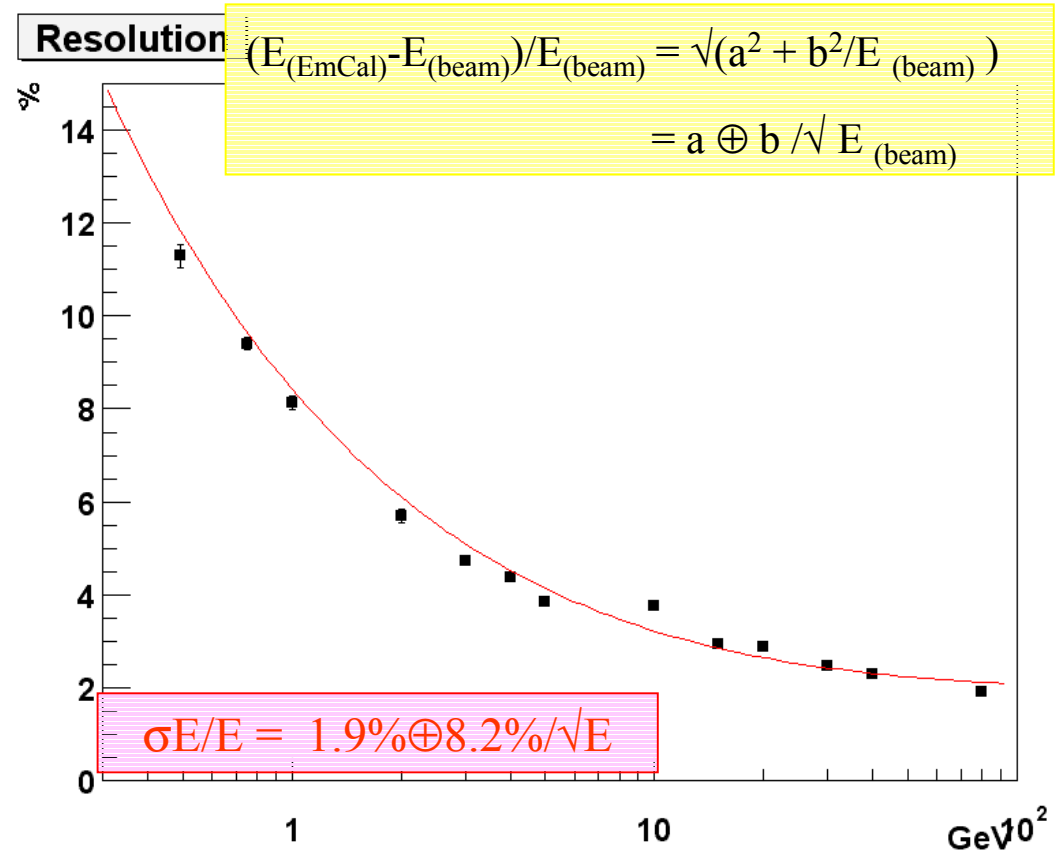


CERN SPS  
H6 beam line



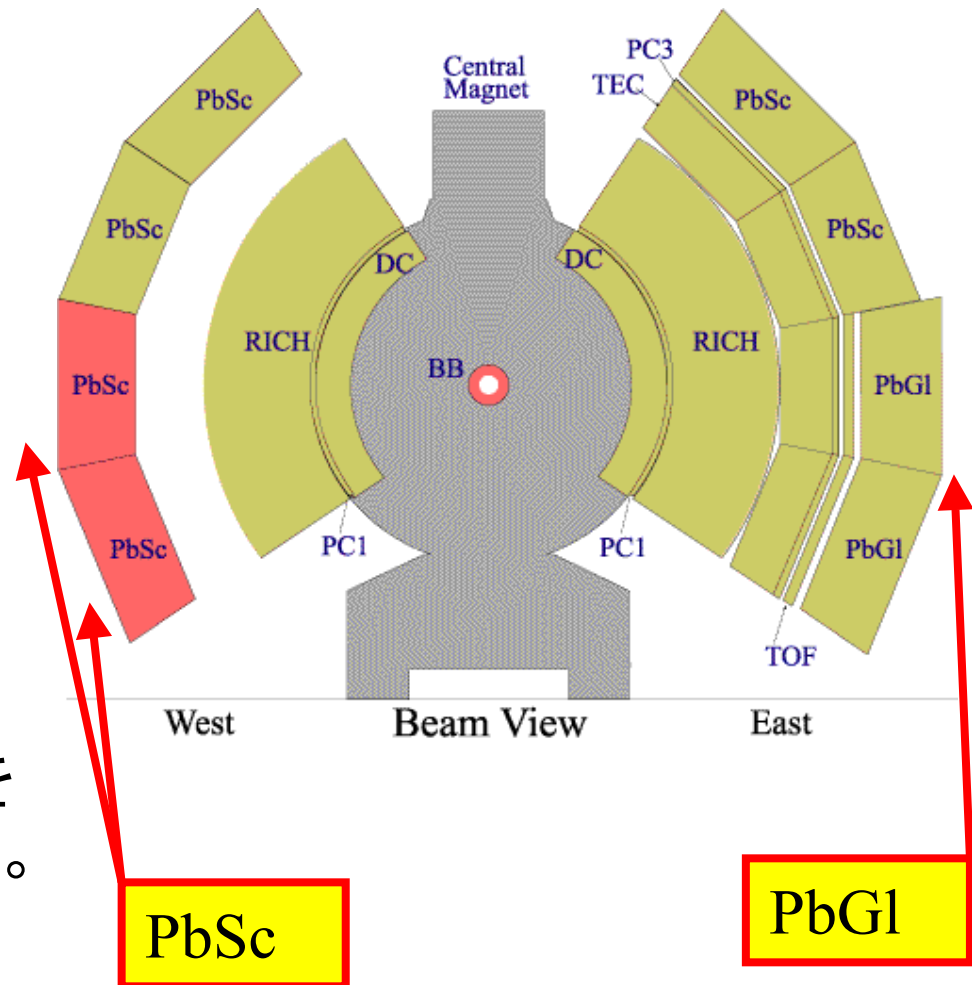
# テストビーム結果

- エネルギー測定  
の分解能
  - 0.5GeV/c -  
80GeV/cの  
electronに対して
  - $\sigma E/E =$   
 $1.9\% \oplus 8.2\% \sqrt{E}$



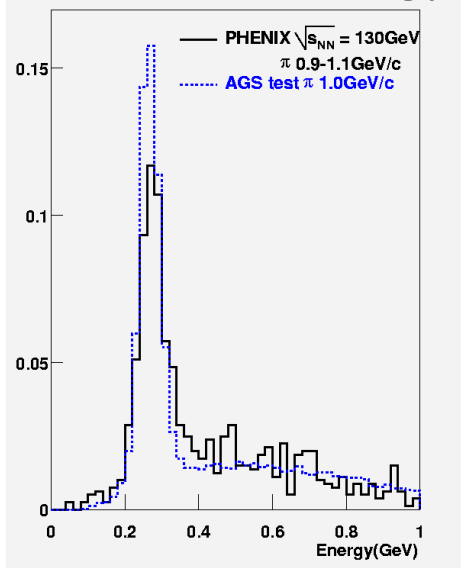
# Physics Run 2000

- 7月:  $\sqrt{s_{NN}}=65\text{GeV}$
- 8月~9月上旬:  
 $\sqrt{s_{NN}}=130\text{GeV}$ 
  - BBC & ZDC による  
Minimum bias trigger
  - 約5Mevents  $0.7\mu\text{b}^{-1}$
- $\phi = 45^\circ + 22.5^\circ$  are active.
  - 2 sectors PbSc(5184 ch)
  - 1 sectors PbGl(4608 ch)
- このTalkでは、  
 $\sqrt{s_{NN}}=130\text{GeV}$ でのPbScを  
使った結果について示す。

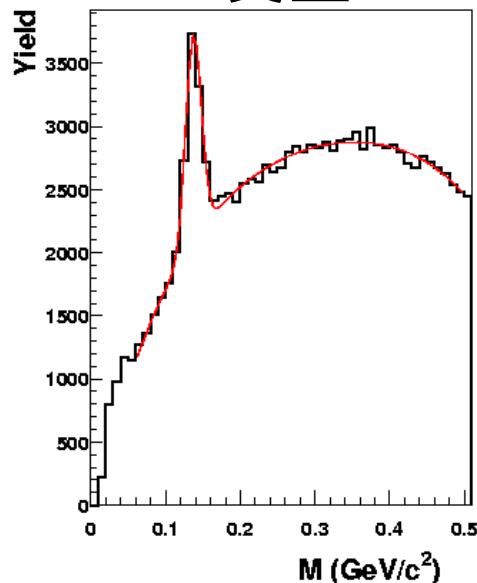


# エネルギー較正

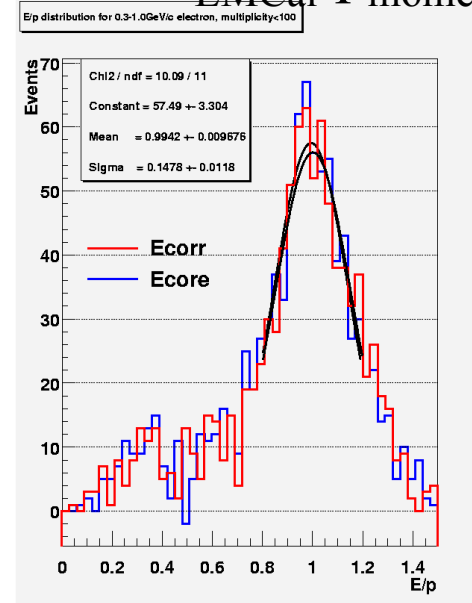
## Ionization energy



## $\pi^0$ 質量



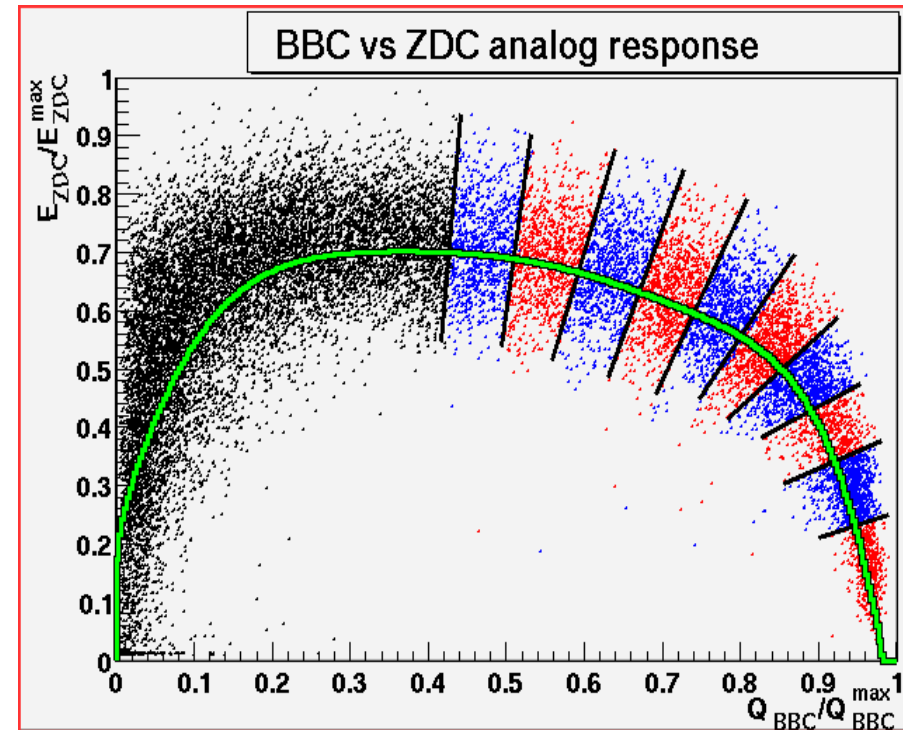
## $e^\pm E_{\text{EMCal}}/p$ momentum



- 各タワー毎の相対較正は0.6-1.0 GeV/c  $\pi^\pm$  による Ionization エネルギーを用いて行い、3%の相対精度で補正できた。
- エネルギーの絶対値は、2%の精度で一致した。
- 時間変動は、レーザーを使った測定で補正後、Ionization エネルギーの安定性を測定したところ、2%以内の変動で抑えられていることがわかった。

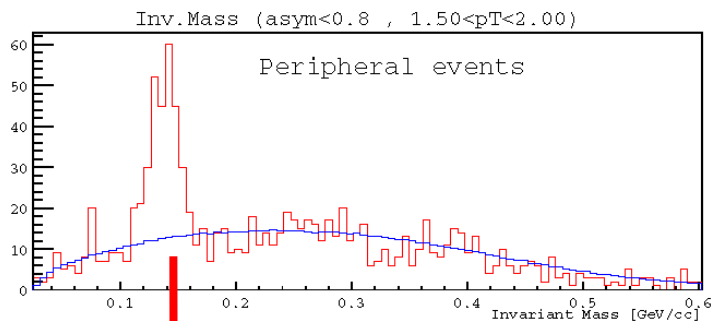
# Centrality測定

- Beam Beam Counter (BBC)
  - $\eta = 3.0-3.9$
  - Fragment領域の荷電粒子
- Zero Degree Calorimeter(ZDC)
  - $\eta = \sim 6$
  - Projectile領域の中性子
- BBC vs ZDC の相関
  - エネルギー/粒子数はCentralityに対してマイナスの相関を持つ
  - Most peripheral collisionでは中性粒子の数は逆に減少する。
  - コの字型の相関から、geometricalな情報、すなわちCentralityがえられる。
- Glauber Modelにより、Centralityをもとに以下の値を見積もる。
  - Number of participant
  - Number of collision

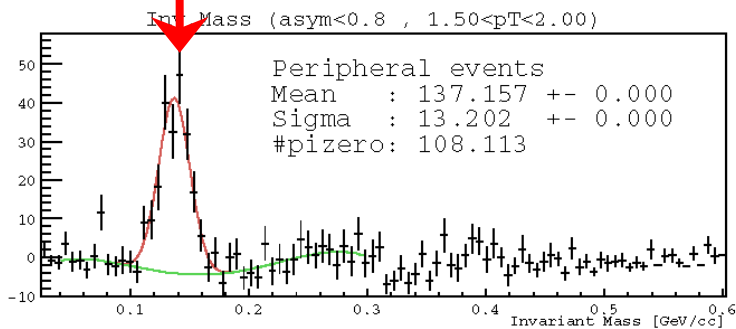


# $\pi^0$ 測定

## Peripheral events

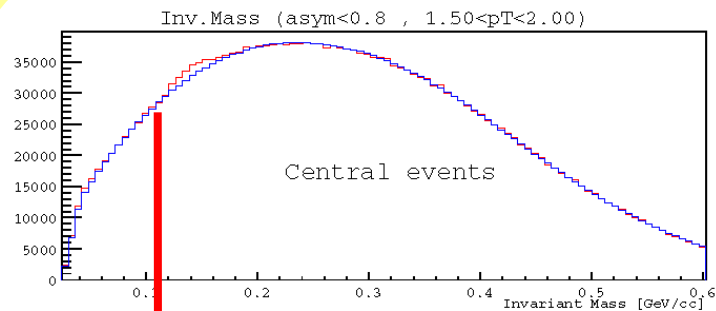


Subtraction by event mixing

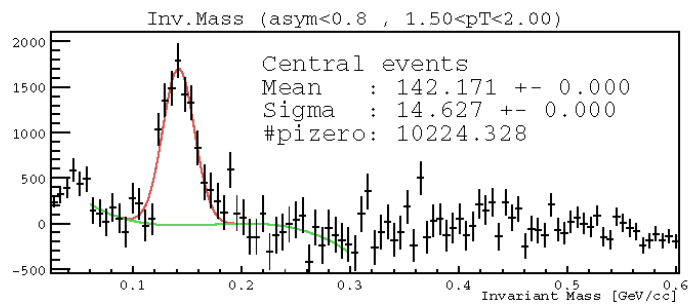


75-92% centrality

## Central events



Subtraction by event mixing

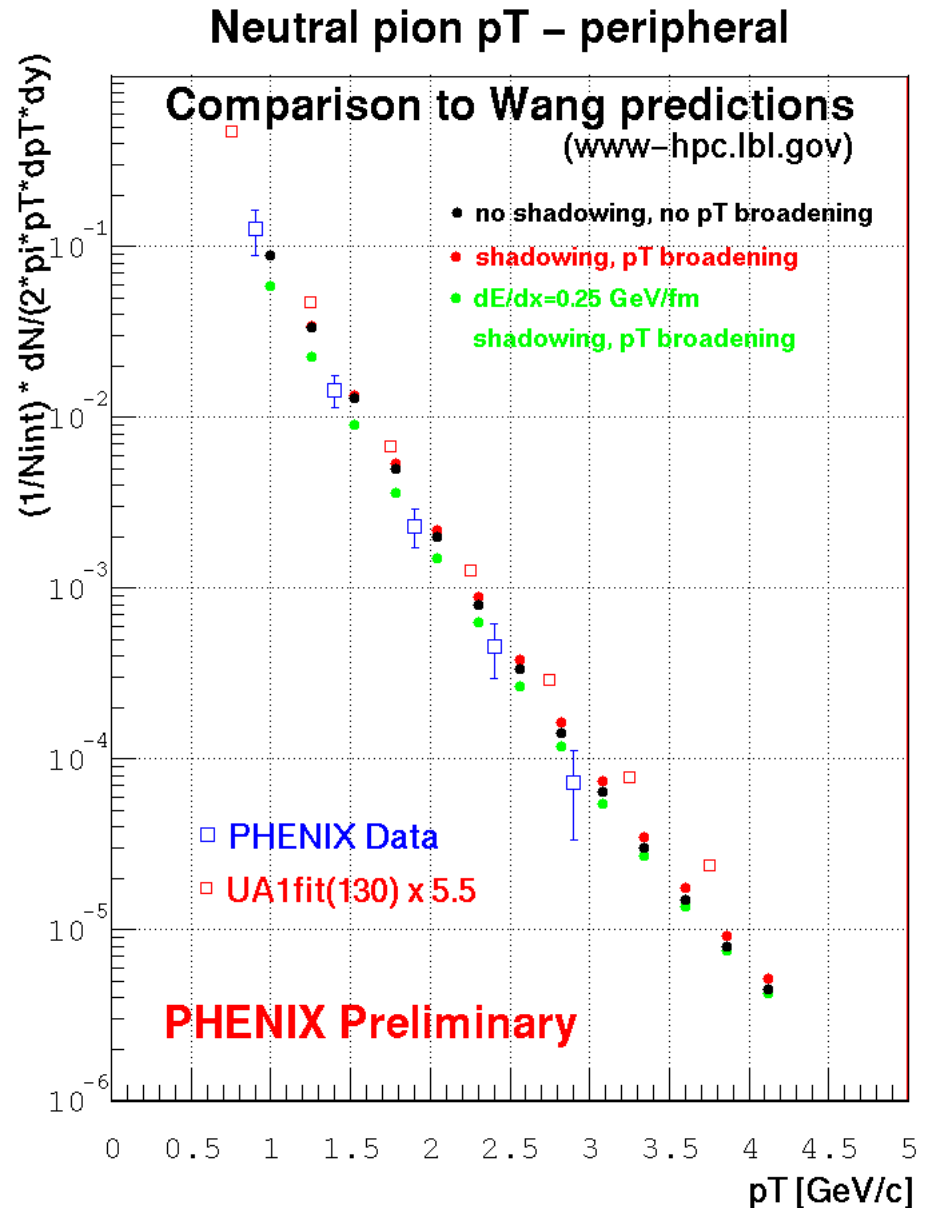


10% centrality

pT = 1.5 – 2.0Gev/c Energy Asymmetry < 0.8

# $\pi^0$ $p_T$ Spectrum (peripheral)

- 75-92% peripheral
- $N_{\text{collision}} =$   
平均 5.5 collisions
- 比較
  - 理論予想値:
    - X.-N.Wang's HIJING simulation: 3のシナリオ
      - no shadowing, no  $p_T$
      - shadowing,  $p_T$
      - $dE/dx = 0.25 \text{ GeV/fm}$  shadowing,  $p_T$
    - UA1 parameterized fit  $\times 5.5$
- 測定値はWangの理論値のどれとも一致している。

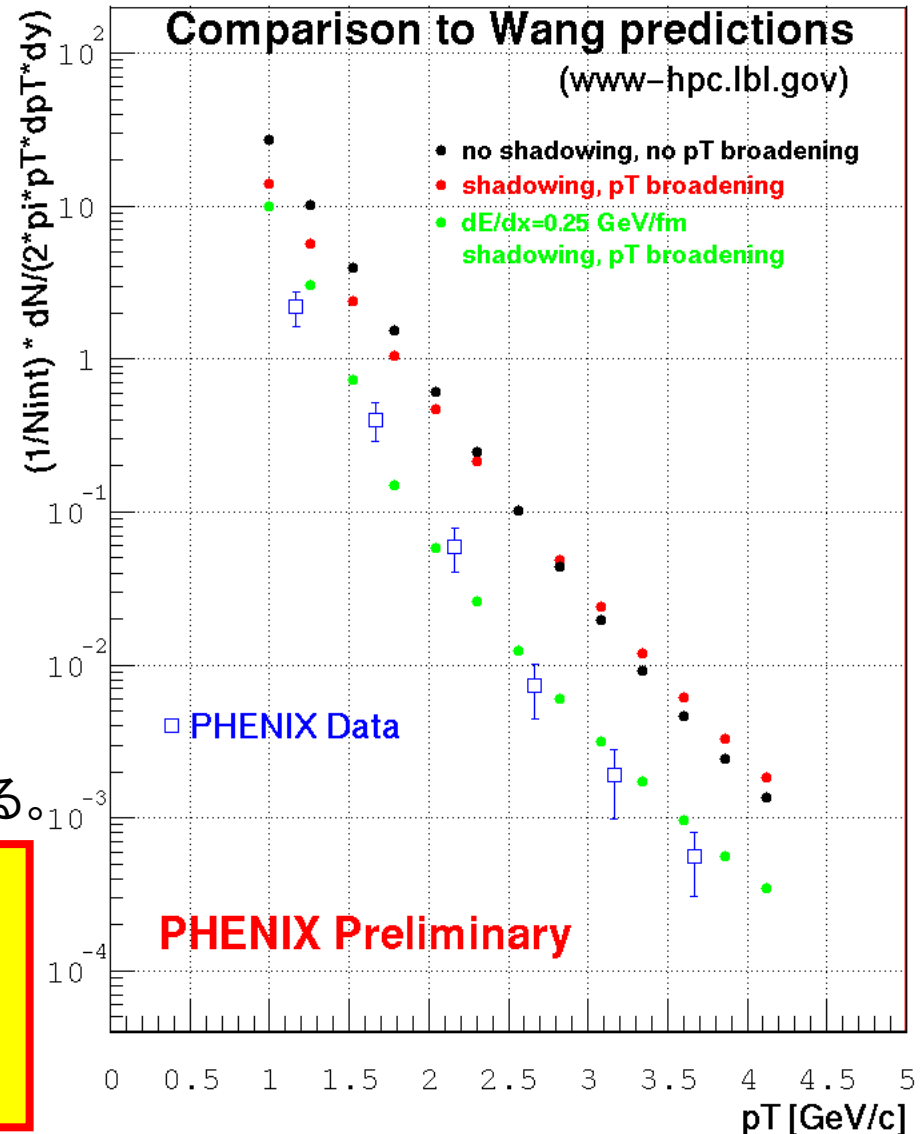


# $\pi^0$ $p_T$ Spectrum (Central)

Neutral pion  $p_T$  – 10% central

- 10% peripheral
- $N_{\text{collision}} =$   
平均 857 collisions
- 比較 理論予想値
  - X.-N.Wang's 3のシナリオ
    - no shadowing, no  $p_T$
    - shadowing,  $p_T$
    - $dE/dx = 0.25 \text{ GeV/fm}$   
shadowing,  $p_T$
- エネルギーロスがない理論値とは一致していない。
- $dE/dx = 0.25 \text{ GeV/fm}$ のエネルギーロスを入れた予想値に近い値を示している。

現段階ではpreliminaryな結果であり、理論との比較や、Spectrumの形など理解を進めているところであり、Jet Quenchingの結論には至っていない。



# Summary

- Quark Gluon Plasma 探索のひとつのプローブとしてJet Quenchingの効果があり、RHIC-PHENIX実験にて $\pi^0$ のpT spectrum でもって測定する。
- 測定に先立ちPHENIX-EMCalorimeter の性能評価として98年にテスト実験を行った。
  - エネルギー分解能  $1.9\% \oplus 8.2\% \sqrt{E}$
- 2000年7月-9月でのPhysics runでは、Minimum bias trigger にて5M events ( $0.7\mu\text{b}^{-1}$ ,  $\sqrt{s_{\text{NN}}}=130\text{GeV}$  Au+Au collision)を測定した。
  - エネルギー較正：絶対値 2%、相対値 3%の精度であっている。
  - $\pi^0$  測定：Event MixingによるBackgroundの引き算。
  - Peripheral :
    - Wangの予想値と合っている。
  - Central collision:
    - Energy lossのない予想値とは違っている。
    - Energy loss の入った予想値に近い。
    - まだPreliminaryな結果であり、今後もSystematic errorの評価をつめる必要がある。
- 2001年の5月から $\sqrt{s_{\text{NN}}}=200\text{GeV}$  Au+Au collisionが始まる。
  - $60\mu\text{b}^{-1}/\text{week}$
  - 8-10GeV/c まで測定可能になる。